

# I-132 間肉溶接継手の疲労特性に関する研究

東京大学

正員

奥村敏恵

都立大学

正員

堀川浩甫

○ 東京大学

学生員

奥川淳志

## 1. まえがき

近年、圧力容器の設計に関連して塑性域疲労の問題が提起されていい。その重要性が認識された。土木の分野においても鋼構造物の長大化、大型化により、また塑性設計の進展により構造物の軽量化がさらに押し進められるようになると、構造部材の降伏後ににおける静的なふるまいについての検討に加えて、動的強度、即ち低サイクル疲労の問題も構造物の信頼性を向上させるために重要な因子となってくる。しかしながら低サイクル疲労については研究はまだ歴史も浅くデーターの蓄積が望まれている。以上の様な観点から、鋼構造物における一つの継手形式である前面間肉溶接継手に着目して、その降伏後のふるまいと共にある塑性レベルで何サイクルの繰り返しに耐え得るかという塑性疲労の問題を検討してみた。

## 2. 有限要素法による理論解析

実験に供される継手形式についての完全な形での弾塑性解は存在していないので、下記の様な仮定によるモデル化を行い、有限要素法にて静的引張り荷重を受けた場合の弾塑性解を求めて、実験結果の検討に供する。

### a. 解析上の仮定

- 計算モデルは図1に示す様なもので、 $x-y$ 面内の応力、歪分布の解析は平面応力状態、 $x-z$ 面内応力、歪分布の計算は平面歪状態と仮定し、各々二次元問題として取り扱った。

- モデルは全て三角形要素に分割され、各要素間の力は節点（三角形の頂点）によってのみ伝達される。

- 材料は溶着金属も含め、等方等質性とし、降伏は von Mises の降伏条件に従うものとする。

- 塑性流れ部は  $20000 \text{ kg/cm}^2$  の歪硬化度を有し、さらに歪硬化域での相当応力と相当歪との関係は、素材試験により得られた  $\sigma - \epsilon$  線図を最少二乗法により近似し、次のように仮定した。

$$\text{SM50材} \quad \bar{\sigma} = 7600 \bar{\epsilon}^{0.165}$$

$$\text{SM58材} \quad \bar{\sigma} = 7500 \bar{\epsilon}^{0.074}$$

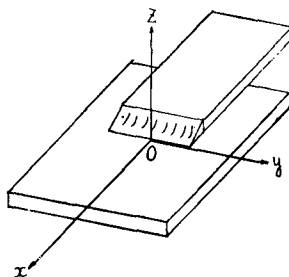


図1 計算モデル

### b. 解析結果

図2に $x-y$ 面内、及び $x-z$ 面内における各々の応力集中度の変化の様子をビード趾端からの距離を横軸にとって図示した。これより $x-z$ 面内における応力集中度は、ビード趾端からおよそ  $0.6\text{cm}$  位離れるところ約  $1.0$  となり、ビード形状による応力かく乱の影響はほとんどなくなることが判る。

さらにビード趾端の点Oに於ける断面について $x-z$ 面内に歪硬化による応力集中度の変化の様子が図3に示されているが、これによるとビード形状が応力の分布に及ぼす影響は、荷重が増加し断面が降伏すると弱まる、てしまうことが判る。

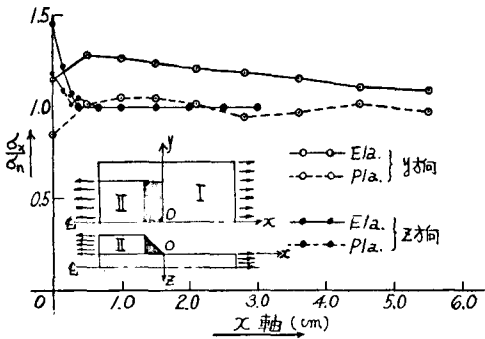


図2 板長方向の応力集中度の変化

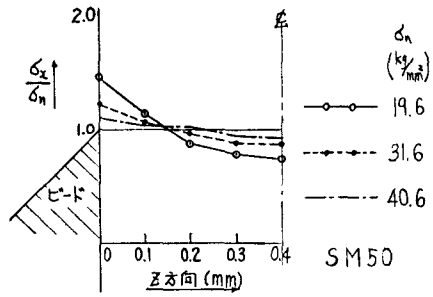


図3 板厚方向の応力集中度

。他の解析結果は実験結果の検討のところで随時引用してやることにする。

### 3. 実験

供試鋼材はSM50、及びSM58の二種類で、その素材引張り試験の結果を表1に、 $\sigma$ - $\epsilon$ 線図の一例を図4に示す。

表1 素材引張り試験結果

鋼種	$\sigma_y$ kg/mm <sup>2</sup>	$\sigma_u$ kg/mm <sup>2</sup>	$\sigma_y/\sigma_u$ %	EL. %
SM50	35.9	54.9	65.4	27.3
SM58	52.4	61.5	85.2	17.5

#### a. 溶接継手引張り試験

試験体の形状及び寸法を図5に示す。溶接ビードは距端角45°、脚長12 mmに機械加工を施してある。試験片の種類はSM50、SM58の溶接したまま(AW)と600°C一時間の応力除去焼鈍したもの(SR)の四系列、各3本ずつである。実験は溶接ビード距端から8 mmの位置にW.S.G.を配して歪を測定しながら破断させた。

実験結果を各系列3本の平均値で表2に示した。ここで継手効率とは、継手の公称破断応力を素材の破断応力を $\sigma_u$ で除した値のことである。

表2 継手の引張り試験結果

試験体系列	破断荷重 ton	破断応力 kg/mm <sup>2</sup>	継手効率
SM50 AW	42.7	56.8	1.03
SM50 SR	41.4	55.1	1.00
SM58 AW	44.2	63.1	1.03
SM58 SR	44.0	60.7	0.99

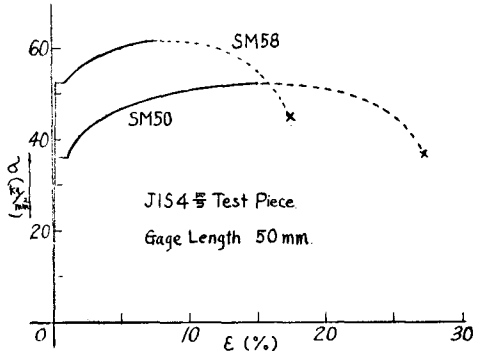


図4 素材の $\sigma$ - $\epsilon$ 線図

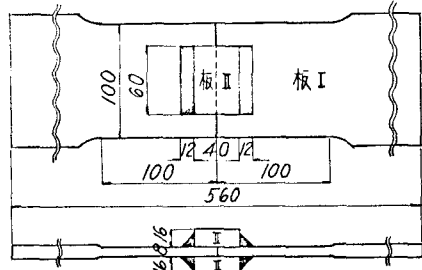


図5 試験体の形状及び寸法

#### b. 溶接継手の疲労試験

試験片の形状及び寸法は図5に示された引張試験片と同じものである。さうに試験片の種類も引張り試験と同じくSM50 AW、SM50 SR、SM58 AW、SM58 SRの四系列である。実験は載荷能力150トンの大型定変位制御疲労試験機を使用し、繰り返し速度は毎分18回、加力

波形は載荷ヘッドの変位と時間の関係が三角波となるもので行った。

疲労試験の結果は、破断繰り返し数  $N_f$  の  $\frac{1}{3}$  サイクル目の荷重振巾を断面積で除した公称応力振巾  $\delta_{\text{Nf}}$  と  $N_f$  との関係で図 6 に示す。

#### 4. 結果の検討

##### a. 計算結果と静的引張り試験結果

溶接ビードに趾端前面での歪の分布を見るために図 7 に計算による値と実験による値を示す。この図の縦軸は溶接ビード前面での平均歪  $\epsilon_{\text{m}}$  を除して無次元化した値をとる。計算値はかなり良く実験点を現わしている。さらに同図により鋼種の違いによる歪分布の違いはほとんど認められない。このことは歪の分布は歪硬化の違いには影響されないと示している。

また、この種の継手形状の応力集中度は弾性域で 1.32 という値が計算によって得られた。計算に用いられた最小要素の寸法は 5 mm であるが、この位の要素の大きさで充分実験値と近似していることとも図 7 の歪分布図は示している。

引張り試験結果において継手効率はどれも約 1.0 となり素材と同程度の強度を有しているが、これは応力集中による強度の低下が、溶着金属による断面の増加

による横方向の剛性が高くなつた結果生じた二軸性による強度の増加と相殺されたためと考えられる。

##### b. 疲労試験の結果について

SM50 と SM58 の鋼種による疲労強度の差を明らかにするために、降伏点  $\delta_y$  によって応力振巾  $\delta_{\text{Nf}}$  を除して無次元化した値と  $N_f$  との関係を図 8 に示す。これによつて降伏点を基準に合せたので、引張り強さの疲労強度に及ぼす影響を知ることができ、降伏比の大きい材料ほど疲労強度は低下することができる。

また図 9 に 1 サイクル目の応力振巾  $\delta_y$  で各サイクル毎の応力振巾を除して繰り返しによる応力振巾の変化の一例を示す。同図によつて塑性繰り返しを受けた材料は軟化してゆくのが判る。

##### c. 龜裂の発生及び破壊状況

静的引張り試験に於ける最初の亀裂はビードの側面にルートの方から発生した。これは溶着金属

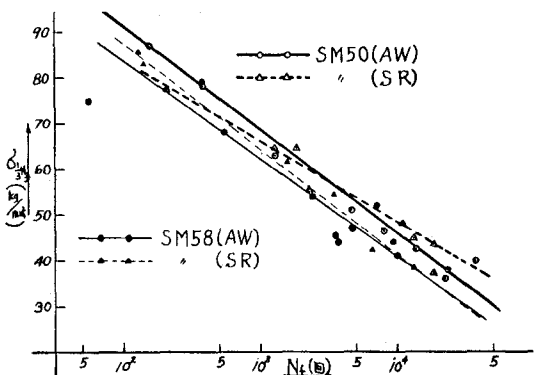


図 6 疲労試験結果  $\delta_{\text{Nf}}/δ_y - N_f$  線図

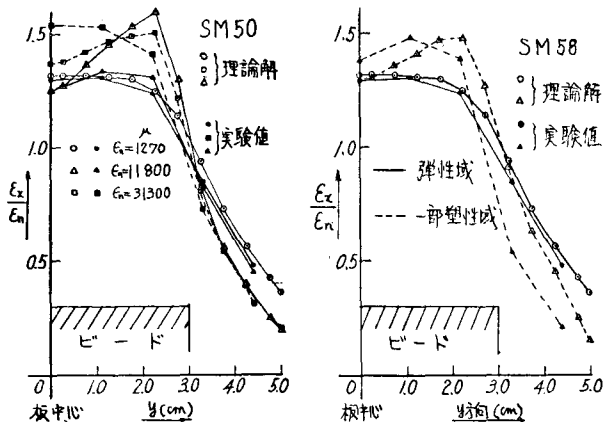


図 7 歪集中度の分布図

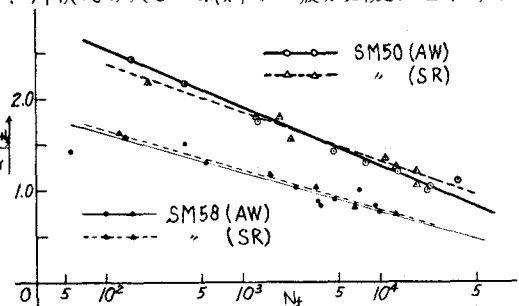


図 8  $\delta_{\text{Nf}}/\delta_y - N_f$  線図

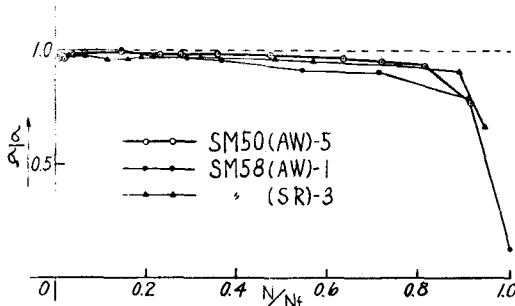


図9 応力振巾の変動線図

によって横方向の収縮が拘束されたために、平行部のくびれ現象が進展するに伴い強せん断応力が生じてきたためと思われるが、三次元応力場となるため計算ではこの現象が追跡できなかつた。しかし破断は溶接ビード前方の平行部に断面減少が生じて典型的な延性破壊を起した。

一方疲労における破断に至る亀裂は、溶接ビード趾端前面のはじ、即ち図7に示された歪集中度の変化が一番大きい位置に生じていい。これはせん断歪の大きさに応じて亀裂が発生するところを示していい。さらに可視的亀裂（必ずしも破断に至る亀裂ではない）の発見繰り返しサイクル ( $N_f$ ) から破断までの繰り返し数  $N_f$  との関係を示した図10より  $N_f - N_c = 0.540 N_f^{1.07}$  を得た。これは Manson や飯田の式に対応するものだが飯田の結果に近い。

### 5まとめ

応力焼鉄は静的引張りにおいても疲労においても結果に大きな影響を与えていいので、AW, SRをまとめて SM50 と SM58 とで比較する。静的強度という点では、降伏応力を基準にする考え方では降伏比の大きいものの伸び能力が小さいものほど劣つていいということは SM58 についても SM50 に比べたとき言うことができる。がしかし低サイクル疲労強度という点からは、降伏比の大きいものの優秀ることは言えるが、伸び能力は低サイクル疲労強度には直接の影響を有さない。即ち低サイクル疲労強度に対して伸び能力が大きいといふことが安全性を増すことにはならない訳である。

### 参考文献

- 星埜正明 高張力鋼の構造特性について 東京大学土木工学科修士論文
- Zienkiewicz The Finite Element Method in Structural and Continuum Mechanics. McGraw-Hill
- 日本鋼構造協会 第3回大会研究集会マトリックス構造解析論文集
- 青木博文 鋼部材要素の塑性挙動に関する研究 東京大学建築学科博士論文 1968
- 飯田国広 低サイクル疲労を考慮した新しい設計 高圧力千巻2号

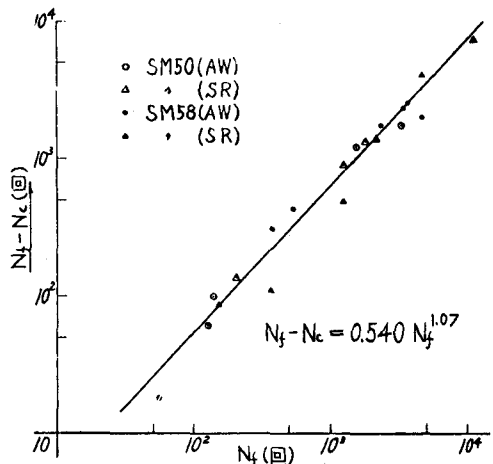


図10  $(N_f - N_c) - N_f$  線図